

DAFTAR PUSTAKA

- Ahriani. (2021). *Analisa Nilai Absorbansi Pada Penentuan Kadar Flavonoid Daun Jarak Merah (Jatropha Gossypifolia L.).*
- Air Sampler Manual. (t.t.). .
- Arif, H., & Nugroho Djojomartono, P. (2021). *Analisis Kualitas Udara Selama Pandemi COVID-19 Menggunakan Data Penginderaan Jau di DKI Jakarta.*
- Badan Pusat Statistik Kota Makassar. (2019). *KECAMATAN MANGGALA DALAM ANGKA 2019.*
- Cedeno Jimenez, J. R., Oxoli, D., & Brovelli, M. A. (2021). ENABLING AIR QUALITY MONITORING with the OPEN DATA CUBE: IMPLEMENTATION for SENTINEL-5P and GROUND SENSOR OBSERVATIONS. *International Archives of the Photogrammetry, Remote Sensing and Spatial Information Sciences - ISPRS Archives*, 46(4/W2-2021), 31–36. <https://doi.org/10.5194/isprs-archives-XLVI-4-W2-2021-31-2021>
- Cislaghi, M., Calabrese, M., Condemi, L., Priolo, S. Di, Parravicini, P., Rondanini, C., Russo, M., Cazzuli, O., Mussin, M., & Serra, R. (2017). ARPA LOMBARDIA river gauging network: a great daily effort. Dalam *Geophysical Research Abstracts* (Vol. 19). <http://idro.arpalombardia.it>
- Dede, Moh., Widiawaty, M. A., Nurhanifah, N., Ismail, A., Artati, A. R. P., Ati, A., & Ramadhan, Y. R. (2020). Estimasi Perubahan Kualitas Udara Berbasis Citra Satelit Penginderaan Jauh Di Sekitar PLTU Cirebon. *Jambura Geoscience Review*, 2(2), 78–87. <https://doi.org/10.34312/jgeosrev.v2i2.5951>
- Dewi, O., Kom, S., Kom, M., & Setiyadi, A. (2003). *REMOTE SENSING (PENGINDERAAN JAUH).*
- Fahmi, F. (2023). *Hubungan Tingkat Kemacetan Lalu Lintas Terhadap Sebaran Spasial dan Temporal Nilai Konsentrasi Polutan Nitrogen Dioksida di Jalan Raya Muchtar, Kota Depok.*
- Faisal, M., & Jaelani, L. M. (2023). Spatio-temporal analysis of nitrogen dioxide (NO₂) from Sentinel-5P imageries using Google Earth Engine changes during the COVID-19 social restriction policy in jakarta. *Natural Hazards Research*. <https://doi.org/10.1016/j.nhres.2023.02.006>
- ni, R., Cahyono, T., Rudijanto, H. I., Kesehatan Lingkungan, J., Kesehatan Kemenkes Semarang, P., Baturaden, J. K., & Abstrak, I. (2017). *PENGARUH PENGGUNAAN ION PLASMA TERHADAP PENURUNAN ANGKA KUMAN*



UDARA DI RUANG KELAS GEDUNG R2 JURUSAN KESEHATAN LINGKUNGAN POLITEKNIK KESEHATAN KEMENKES SEMARANG TAHUN 2017 (Vol. 37, Nomor 4).

- Febriyanti S. Abdullah. (2018). *Analisis Konsentrasi Udara Ambien Co Di Jalan Alternatif Car Free Day Kota Makassar Menggunakan Program Caline-4.*
- Hanindito, G. A., Sediyono, E., & Setiawan, A. (2014). *Analisa Pantauan dan Klasifikasi Citra Digital Remote Sensing dengan Data Satelit Landsat TM Melalui Teknik Supervised Classification (Studi Kasus Kabupaten Minahasa Tenggara, Provinsi Sulawesi Utara).* <http://earthexplorer.usgs.gov/>.
- Hanindito, G. A., Sediyono, E., Setiawan, A., Wacana, K. S., Sain, F., & Matematika, D. (2014). ANALISIS PANTAUAN DAN KLASIFIKASI CITRA DIGITAL PENGINDRAAN JAUH DENGAN DATA SATELIT LANDSAT TM MELALUI TEKNIK SUPERVISED CLASSIFICATION (STUDI KASUS KABUPATEN MINAHASA TENGGARA, PROVINSI SULAWESI UTARA). *Universitas Gunadarma-Depok*, 8.
- Irawan, A. (2019). *Kalibrasi Spektrofotometer Sebagai Pnejaminan Mutu Hasil Pengukuran Dalam Kegiatan Penelitian dan Pengukuran* (Vol. 1, Nomor 2). Online.
- Ismayanti, Marlita, D., & Saidah, D. (2014). *Pencemaran Udara Akibat Emisi Gas Buang Kendaraan Bermotor.* *Jurnal Manajemen Transportasi dan Logistik.*
- Jaelani, L. M., & Wardani, R. I. (2019). *VALIDASI REFLEKTAN PERMUKAAN HASIL DARI KOREKSI ATMOSFER METODE SEN2COR MENGGUNAKAN DATA IN SITU (STUDI KASUS: DANAU KASUMIGAURA, JEPANG).*
- Jultz, & Perez, M. (2020). *Copernicus: The European Earth Observation Programme.*
- Kwak, H. Y., Ko, J., Lee, S., & Joh, C. H. (2017). Identifying the correlation between rainfall, traffic flow performance and air pollution concentration in Seoul using a path analysis. *Transportation Research Procedia*, 25, 3552–3563. <https://doi.org/10.1016/j.trpro.2017.05.288>
- Lianita, Y., Qudus, H. I., Dian, D., Pratama, S., Kimia, J., Matematika, F., Ilmu, D., & Alam, P. (2012). *STUDI PENDAHULUAN PENGEMBANGAN METODE ANALISIS NITROGEN DIOKSIDA (NO 2) PADA UDARA AMBIEN DENGAN TEKNIK VOLTAMMETRI GELOMBANG PERSEGI (SQUARE WAVE VOLTAMMETRY).*
- zano, P. (2022). Air Quality in Lombardy, Italy: An Overview of the



- Environmental Monitoring System of ARPA Lombardia. *Earth (Switzerland)*, 3(1), 172–203. <https://doi.org/10.3390/earth3010013>
- Mohd Razali, N., & Bee Wah, Y. (2011). Power comparisons of Shapiro-Wilk, Kolmogorov-Smirnov, Lilliefors and Anderson-Darling tests. Dalam *Journal of Statistical Modeling and Analytics* (Vol. 2, Nomor 1).
- Mursinto, D., & Kusumawardani, D. (2016). ESTIMASI DAMPAK EKONOMI DARI PENCEMARAN UDARA TERHADAP KESEHATAN DI INDONESIA. *Jurnal Kesehatan Masyarakat*, 11(2), 163. <https://doi.org/10.15294/kemas.v11i2.3677>
- Mutanga, O., & Kumar, L. (2019). Google earth engine applications. Dalam *Remote Sensing* (Vol. 11, Nomor 5). MDPI AG. <https://doi.org/10.3390/rs11050591>
- Nur Wijayanti, D. (2012). *Gambaran dan Analisis Risiko Nitrogen Dioksida Per-Kota/Kabupaten dan Provinsi di Indonesia*.
- Pirade, H. S. M., Kato, I. S., Bestari, S., & Rachman, R. (2019). *Pengaruh Hambatan Samping Terhadap Kinerja Ruas Jalan Antang Raya Kota Makassar*.
- Prakoso, D. (2018). *ANALISIS PENGARUH TEKANAN UDARA, KELEMBABAN UDARA DAN SUHU UDARA TERHADAP TINGKAT CURAH HUJAN DI KOTA SEMARANG*.
- Pratiwi, D., Putri, D., Santosa, B., & Si, S. (2021). Analisis Korelasi Variasi Gas Nitrogen Dioksida Terhadap Kenaikan Kasus Positif Terkonformasi Covid-19 Studi Kasus Provinsi Jawa Timur. Dalam *Jurnal Ilmiah Teknik Geomatika IMAGI* (Vol. 1).
- Pratiwi N. (2020). *PEMETAAN POTENSI KEKERINGAN LAHAN DI KABUPATEN CIREBON BERBASIS SISTEM INFORMASI GEOGRAFIS DAN PENGINDRAAN JAUH*.
- Pseftogkas, A., Koukouli, M. E., Segers, A., Manders, A., Geffen, J. van, Balis, D., Meleti, C., Stavrakou, T., & Eskes, H. (2022). Comparison of S5P/TROPOMI Inferred NO₂ Surface Concentrations with In Situ Measurements over Central Europe. *Remote Sensing*, 14(19). <https://doi.org/10.3390/rs14194886>
- Purba, D., Subiyanto, S., & Ah, H. '. (2018). ANALISIS KEBUTUHAN RUANG TERBUKA HIJAU BERDASARKAN PENDEKATAN KEBUTUHAN OKSIGEN DI KOTA PEKALONGAN DENGAN MENGGUNAKAN PENGINDERAAN JAUH DAN SISTEM INFORMASI GEOGRAFIS. Dalam *Jurnal Geodesi Undip Oktober* (Vol. 7, Nomor 4).
- ti, A., & Afgatiani, P. M. (2020). *Pemanfaatan Data Sentinel 5 Untuk*



Pemantauan Perubahan Kualitas Udara NO2 Akibat Pandemi Covid-19 Di Jakarta.

- Ravina, M., Panepinto, D., & Zanetti, M. (2019). Air quality planning and the minimization of negative externalities. *Resources*, 8(1). <https://doi.org/10.3390/resources8010015>
- Resti Fevria. (2016). *ANALISIS KUALITAS UDARA DI DAERAH PENAMBANGAN BATU KAPUR BUKIT TUI KOTA KOTA PADANG PANJANG* Resti Fevria (Vol. 2).
- Rhomdani, R. W. (2022). ALGORITMA MODULO BERPANGKAT MENGGUNAKAN TEOREMA BINOMIAL NEWTON DAN PHI EULER DENGAN JAVASCRIPT. *Teorema: Teori dan Riset Matematika*, 7(2), 403. <https://doi.org/10.25157/teorema.v7i2.7707>
- Saifulloh, M., Suyarto, R., Wiyanti, W., & BUDI Kusmiyarti, T. (2021). *Spasiotemporal Emisi NO2 saat Pandemic Covid-19 di Kuta, Bali: Deteksi pada Citra Sentinel-5P Menggunakan Google Earth Engine (GEE)*. <https://www.researchgate.net/publication/361054175>
- Savenets, M. (2021). Air pollution in ukraine: A view from the sentinel-5p satellite. *Idojaras*, 125(2), 271–290. <https://doi.org/10.28974/idojaras.2021.2.6>
- Serlina, Y. (2020). Pengaruh Faktor Meteorologi Terhadap Konsentrasi NO 2 di Udara Ambien (Studi Kasus Bundaran Hotel Indonesia DKI Jakarta). *Serambi Engineering*, V(3).
- Somvanshi, S. S., Vashisht, A., Chandra, U., & Kaushik, G. (2019). Delhi Air Pollution Modeling Using Remote Sensing Technique. Dalam *Handbook of Environmental Materials Management* (hlm. 1–27). Springer International Publishing. https://doi.org/10.1007/978-3-319-58538-3_174-1
- Standardisasi Nasional, B., & Cipta Badan Standardisasi Nasional, H. (2017). *SNI 7119-2:2017 Standar Nasional Indonesia Udara ambien-Bagian 2: Cara uji kadar nitrogen dioksida (NO 2) dengan metode Griess-Saltzman menggunakan spektrofotometer*. www.bsn.go.id
- Suhartati, T. (2017). *Dasar-Dasar Spektrofometri UV-VIS dan Spektrometri Massa Untuk Penentuan Struktur Senyawa Organik*.
- Sukoco, B. (2022). *KAJIAN PEMANFAATAN TEKNOLOGI GOOGLE EARTH ENGINE UNTUK BIDANG PENGINDERAAN JAUH*.
- o, Antoni Saputra, B., Nisa, K., Rosita, N., & Yulianto, A. (2014). *ANALISIS SPEKTRUM ABSORBANSI PIGMEN FLAVONOID DARI DAUN TANAMAN*



ANDONG (CORDYLINE FRUTICOSA L.) SEBAGAI DYE SOLAR SEL.

- Theys, N., De Smedt, I., Yu, H., Danckaert, T., van Gent, J., Hörmann, C., Hedelt, P., Bauer, H., Romahn, F., Pedergnana, M., Loyola, D., & Van, M. (2016). *Sulfur dioxide retrievals from TROPOMI onboard Sentinel-5 Precursor: Algorithm Theoretical Basis*. <https://doi.org/10.5194/amt-2016-309>
- Trio Bagoes Darmawan. (2016). *STUDI PEMANFAATAN DATA NO 2 DARI SATELIT OMI (OZONE MONITORING INSTRUMENT) UNTUK PEMBUATAN MODEL NO.*
- Wantania, C. E., Lingkungan, J. T., Lanskap, A., & Lingkungan, T. (2019). *ANALISIS UDARA AMBIEN DENGAN PARAMETER PM10.*
- Warono, D., & Syamsudin. (2013). *UNJUK KERJA SPEKTROFOTOMETER UNTUK ANALISA ZAT AKTIF KETOPROFEN.*
- Zakaria, N. (2013). *ANALISIS PENCEMARAN UDARA (SO₂), KELUHAN IRITASI TENGGOROKAN DAN KELUHAN KESEHATAN IRITASI MATA PADA PEDAGANG MAKANAN DI SEKITAR TERMINAL JOYOBOYO SURABAYA.*
- Zheng, Z., Yang, Z., Wu, Z., & Marinello, F. (2019). Spatial variation of NO₂ and its impact factors in China: An application of sentinel-5P products. *Remote Sensing*, 11(16). <https://doi.org/10.3390/rs11161939>
- Anamisa, D. R., & Mufarroha, F. A. (2022). *Dasar Pemrograman WEB Teori dan Implementasi: HTML, CSS, Javascript, Bootstrap, CodeIgniter*. Media Nusa Creative (MNC Publishing).
- Rijal, S., Barkey, R. A., Nursaputra, M., Ardiansah, T., Tahir, M. A. S., & Radeng, A. K. (2019). *Penginderaan Jauh dalam bidang kehutanan*. Fakultas Kehutanan, Universitas Hasanuddin.
- Ghozali, I. (2016). *Aplikasi Analisis Multivariate dengan Program IBM SPSS 21 Update PLS Regresi*. Badan Penerbit Universitas Diponegoro, Semarang. The Application of Multivariate Analysis of the Program IBM SPSS 21 Update PLS Regression. Publishing Department of University Diponegoro, Semarang.
- Cahyo, I. S. N. (2022). *PERAMALAN SEWA KIT KAMERA MENGGUNAKAN METODE DOUBLE EKSPONENTIAL SMOOTHING HOLT* (Doctoral dissertation, UPN "Veteran" Yogyakarta).



Lampiran 1. Coding Citra Satelit pada GEE

// JUDUL

```
var judul= ui.Label('Konsentrasi NO2 Kelurahan Antang')
judul.style().set('position','top-center');
Map.add (judul);
```

// CITRA TIMESERIES KELURAHAN ANTANG

```
var collection = ee.ImageCollection('COPERNICUS/S5P/NRTI/L3_NO2')
.select('NO2_column_number_density')
.filterDate('2023-05-29', '2023-05-30')
.mean();
```

```
var collection2 = ee.ImageCollection('COPERNICUS/S5P/NRTI/L3_NO2')
.select('NO2_column_number_density')
.filterDate('2023-05-30', '2023-05-31')
.mean();
```

```
var collection3 = ee.ImageCollection('COPERNICUS/S5P/NRTI/L3_NO2')
.select('NO2_column_number_density')
.filterDate('2023-05-31', '2023-06-01')
.mean();
```

// POTONG CITRA SESUAI AOI

```
var clip= collection.clip (Antang);
var clip2= collection2.clip (Antang);
var clip3= collection3.clip (Antang);
```

// VISUALISASI

```
var band_viz = {
min: 0.00001,
00005,
['black', 'blue', 'purple', 'cyan', 'green', 'yellow', 'red']}
```



```

// KOMPOSIT
var stacked_composite= clip.addBands(clip2).addBands(clip3);
print('NO2',stacked_composite.bandNames());

// PARAMETER
var temporal = [1 ,2, 3]

// MENAMPILKAN CITRA
Map.addLayer(clip, band_viz, '29');
Map.addLayer(clip2, band_viz, '30');
Map.addLayer(clip3, band_viz, '31');
Map.centerObject(Antang, 10)

// MENAMPILKAN GRAFIK
var chart= ui.Chart.image.regions(
  stacked_composite, Antang, ee.Reducer.mean(), 30, 'label', temporal)
.setChartType('ScatterChart')
.setOptions({
  title: 'Konsentrasi Nitrogen Dioksida',
  vAxis: {title: 'Konsentrasi (mol/m2)'},
  hAxis: {title: 'Hari'},
  lineWidth: 1,
  pointSize: 4,
})

// DISPLAY
print(chart)

```



OR KE GOOGLE DRIVE

```

nage.toDrive({
  clip,

```

```

description:'NO2_Antang29Mei',
folder:'Tugas Akhir Dhea',
maxPixels: 1e13,
fileFormat: 'GeoTIFF',
scale: 100,
crs: 'EPSG:4326',
region: Antang
})

```

```

Export.image.toDrive({
image:clip2,
description:'NO2_Antang30Mei',
folder:'Tugas Akhir Dhea',
maxPixels: 1e13,
fileFormat: 'GeoTIFF',
scale: 100,
crs: 'EPSG:4326',
region: Antang
})

```

```

Export.image.toDrive({
image:clip3,
description:'NO2_Antang31Mei',
folder:'Tugas Akhir Dhea',
maxPixels: 1e13,
fileFormat: 'GeoTIFF',
scale: 100,
crs: 'EPSG:4326',
region: Antang
})

```



Optimized using
trial version
www.balesio.com

Lampiran 2. Perhitungan dan Rekapitulasi Konsentrasi NO₂ Pengukuran Lapangan

Konsentrasi NO ₂ di Larutan Standar	
4.7 Perhitungan	
4.7.1 Konsentrasi NO₂ dalam larutan standar	
<p>Jumlah NO₂ (μg) tiap 1 mL larutan standar yang digunakan dapat dihitung dengan rumus sebagai berikut:</p> $\text{NO}_2 = \frac{a}{100} \times \frac{46}{69} \times \frac{1}{f} \times \frac{10}{1000} \times 10^6$ <p>dengan pengertian:</p> <p>NO₂ adalah jumlah NO₂ dalam larutan standar NaNO₂ (μg/mL); a adalah berat NaNO₂ yang ditimbang (g); 46 adalah berat molekul NO₂; 69 adalah berat molekul NaNO₂; f adalah faktor yang menunjukkan jumlah mol NaNO₂ yang menghasilkan warna yang setara dengan 1 mol NO₂ (nilai f = 0,82); 10/1000 adalah faktor pengenceran dari larutan induk NaNO₂; 10⁶ adalah konversi dari gram ke μg.</p> <p>CATATAN Apabila jumlah NaNO₂ yang ditimbang tepat 0,246 g dan diperlakukan sesuai langkah 4.2 butir e) dan f), maka 1 mL larutan standar NaNO₂ sebanding dengan 20 μg NO₂.</p>	
Sumber: SNI-7119-2-2017	
Diketahui:	
$a = 0.246 \text{ g}$ $f = 0.82$	
$\text{NO}_2 = \frac{a}{100} \times \frac{46}{69} \times \frac{0.1}{f} \times \frac{10}{1000} \times 10^6$	
$\text{NO}_2 = 2 \mu\text{g/mL}$ $\text{NO}_2 = 4 \mu\text{g/mL}$ $\text{NO}_2 = 8 \mu\text{g/mL}$	



Volume contoh uji udara yang diambil

$$V = \frac{\sum_{i=1}^n Q_i}{n} \times t \times \frac{P_a}{T_a} \times \frac{298}{760}$$

Keterangan:

- V adalah volume udara yang diambil dikoreksi pada kondisi normal 25°C, 760 mmHg (Nm3);
- Q_i adalah pencatatan laju alir ke – i (Nm³/menit);
- n adalah jumlah pencatatan laju alir;
- t adalah durasi pengambilan contoh uji (menit)
- P_a adalah tekanan barometer rata-rata selama pengambilan contoh uji (mmHg);
- T_a adalah temperatur rata-rata selama pengambilan contoh uji dalam Kelvin (K);
- 298 adalah konversi temperatur pada kondisi normal (25 °C) ke dalam Kelvin (K);
- 760 adalah tekanan udara standar (mmHg).

Sumber: SNI-7119-2-2017

Diketahui:

Q_i	=	9	Nm ³ /menit	Laju Alir 1	2.25	Nm3/menit
n	=	4		Laju Alir 2	2.25	
t	=	60	menit	Laju Alir 3	2.25	
P_{1a}	=	758.1	mmHg	Laju Alir 4	2.25	
T_{1a}	=	306.3	K			

$$V = \frac{Q_i}{n} \times t \times \frac{P_a}{T_a} \times \frac{298}{760}$$

V1a:	132.0	Nm3	V1b:	132.2	Nm3	V1c:	132.1594	Nm3
V2a:	129.9	Nm3	V2b:	130.2	Nm3	V2c:	130.3463	Nm3
V3a:	129.9	Nm3	V3b:	129.5	Nm3	V3c:	129.0474	Nm3
V4a:	132.3	Nm3	V4b:	131.6	Nm3	V4c:	131.4933	Nm3

Konsentrasi NO₂ di Udara Ambien

$$C = \frac{b}{V_u} \times \frac{V_1}{25} \times 1.000$$

Keterangan:

- C adalah konsentrasi NO₂ di udara (µg/Nm3);
- b adalah jumlah NO₂ dari contoh uji hasil perhitungan dari kurva kalibrasi (µg);
- V_u adalah volume udara yang dihisap dikoreksi pada kondisi normal 25°C, 760mmHg (Nm³);
- V_1 adalah volume akhir larutan penjerap (mL);
- 25 adalah volume larutan standar dalam labu ukur;
- 1.000 adalah konversi liter ke m³.

Sumber: SNI-7119-2-2017

Diketahui:

$$b_1 = 3.34066 \text{ } \mu\text{g}$$

$$V_{u1} = 132.01$$

$$V_1 = 10 \text{ mL}$$

$$C = \frac{b}{V_u} \times \frac{V_1}{25} \times 1000$$

C1a	=	10.12	µg/Nm3	C1b	=	9.04	µg/Nm3	C1c	=	3.39	µg/Nm3
C2a	=	16.38	µg/Nm3	C2b	=	13.77	µg/Nm3	C2c	=	4.32	µg/Nm3
C3a	=	19.77	µg/Nm3	C3b	=	18.74	µg/Nm3	C3c	=	6.34	µg/Nm3
C4a	=	3.32	µg/Nm3	C4b	=	10.82	µg/Nm3	C4c	=	5.15	µg/Nm3



Hari	Waktu	Laju Alir (Qi) (Nm ³ /Menit)	Adsorbansi (A)		Kurva Kalibrasi		Durasi (t) (Menit)	Temperatur(Ta)		Tekanan (Pa) (mmHg)	Volume Udara Yang diambil Terkoreksi Kondisi Normal (Vu) (Nm ³)	Konsentrasi NO ₂ dalam Larutan Uji dengan Kurva Kalibrasi (b) (μg)	Volume Akhir Larutan Penjerap (Vi) (mL)	Konsentrasi NO ₂ di Udara (C) (μg/Nm ³)
			Blanko	L. Uji	Intersep	Slope		°C	K					
Senin, 29 Mei 2023	Pagi	2.25	0.445	0.597	-0,0014	0,0455	60	31.7	306.9	759.9	132.0	3.340659	10	10.12
	Siang	2.25	0.188	0.43				35.7	308.7	757.5	129.9	5.3186813		16.38
	Sore	2.25	0.263	0.555				35.5	308.5	756.7	129.9	6.417582		19.77
	Malam	2.25	0.456	0.506				30.4	303.4	758.3	132.3	1.098901		3.32
Selasa, 30 Mei 2023	Pagi	2.25	0.545	0.681				31.1	304.1	759.8	132.2	2.989010989	10	9.04
	Siang	2.25	0.417	0.621				35.3	308.3	758.4	130.2	4.483516484		13.77
	Sore	2.25	0.261	0.537				36.6	309.6	757.3	129.5	6.065934066		18.74
	Malam	2.25	0.545	0.707				32.1	305.1	758.5	131.6	3.56043956		10.82
Rabu, 31 Mei 2023	Pagi	2.25	0.654	0.705				31.3	304.3	759.8	132.2	1.120879	10	3.39
	Siang	2.25	0.548	0.612				34.8	307.8	758.0	130.3	1.406593		4.32
	Sore	2.25	0.483	0.576				37.3	310.3	757.3	129	2.043956		6.34
	Malam	2.25	0.398	0.475				32.1	305.1	758.5	131.5	1.692308		5.15



Lampiran 3. Data Konsentrasi NO₂ Kelurahan Antang Berdasarkan Citra Satelit Sentinel 5P

HASIL EKTRAKSI PIXEL CITRA SENTINEL 5P			
Poin	29 Mei 2023	30 Mei 2023	31 Mei 2023
1	0.00006274218	0.00007357030	0.00003079850
2	0.00006274218	0.00007357030	0.00003079850
3	0.00006274218	0.00007357030	0.00003079850
4	0.00006274218	0.00007357030	0.00003079850
5	0.00006274218	0.00007357030	0.00003079850
6	0.00006274218	0.00007357030	0.00003079850
7	0.00006274218	0.00007357030	0.00003079850
8	0.00006274218	0.00007357030	0.00003079850
9	0.00006274218	0.00007357030	0.00003079850
10	0.00006274218	0.00007357030	0.00003079850
11	0.00006274218	0.00007357030	0.00003079850
12	0.00006274218	0.00007357030	0.00003079850
13	0.00006274218	0.00007357030	0.00003079850
14	0.00006274218	0.00007357030	0.00003079850
15	0.00006274218	0.00007357030	0.00003079850
16	0.00006274218	0.00007357030	0.00003079850
17	0.00006274218	0.00007357030	0.00003301909
18	0.00006274218	0.00007357030	0.00003301909
19	0.00006274218	0.00007357030	0.00003079850
20	0.00006274218	0.00007357030	0.00003079850
21	0.00006274218	0.00007357030	0.00003079850
22	0.00006274218	0.00007357030	0.00003079850
23	0.00006274218	0.00007357030	0.00003079850
24	0.00006274218	0.00007357030	0.00003079850
25	0.00006274218	0.00007357030	0.00003079850
26	0.00006274218	0.00007357030	0.00003079850
27	0.00006274218	0.00007357030	0.00003079850
28	0.00006274218	0.00007357030	0.00003079850
29	0.00006274218	0.00007357030	0.00003079850
30	0.00006274218	0.00007357030	0.00003079850
31	0.00006274218	0.00007357030	0.00003301909
32	0.00006274218	0.00007357030	0.00003301909
33	0.00006274218	0.00007357030	0.00003079850
34	0.00006274218	0.00007357030	0.00003079850
	0.00006274218	0.00007357030	0.00003079850
	0.00006274218	0.00007357030	0.00003079850
	0.00006274218	0.00007357030	0.00003079850
	0.00006274218	0.00007357030	0.00003079850
	0.00006274218	0.00007357030	0.00003079850



40	0.00006274218	0.00007357030	0.00003079850
41	0.00006274218	0.00007357030	0.00003079850
42	0.00006274218	0.00007357030	0.00003079850
43	0.00006274218	0.00007357030	0.00003079850
44	0.00006274218	0.00007357030	0.00003079850
45	0.00006274218	0.00007357030	0.00003079850
46	0.00006274218	0.00007357030	0.00003079850
47	0.00006274218	0.00007357030	0.00003079850
48	0.00006274218	0.00007357030	0.00003079850
49	0.00006274218	0.00007357030	0.00003079850
50	0.00006274218	0.00007357030	0.00003301909
51	0.00006274218	0.00007357030	0.00003301909
52	0.00006274218	0.00007357030	0.00003301909
53	0.00006274218	0.00007357030	0.00003301909
54	0.00006274218	0.00007357030	0.00003301909
55	0.00006274218	0.00007357030	0.00003079850
56	0.00006274218	0.00007357030	0.00003079850
57	0.00006274218	0.00007357030	0.00003079850
58	0.00006274218	0.00007357030	0.00003079850
59	0.00006274218	0.00007357030	0.00003079850
60	0.00006274218	0.00007357030	0.00003079850
61	0.00006274218	0.00007357030	0.00003079850
62	0.00006274218	0.00007357030	0.00003079850
63	0.00006274218	0.00007357030	0.00003079850
64	0.00006274218	0.00007357030	0.00003079850
65	0.00006274218	0.00007357030	0.00003079850
66	0.00006274218	0.00007357030	0.00003079850
67	0.00006274218	0.00007357030	0.00003079850
68	0.00006274218	0.00007357030	0.00003079850
69	0.00006274218	0.00007357030	0.00003079850
70	0.00006274218	0.00007357030	0.00003079850
71	0.00006274218	0.00007357030	0.00003079850
72	0.00006274218	0.00007357030	0.00003301909
73	0.00006274218	0.00007357030	0.00003301909
74	0.00006274218	0.00007357030	0.00003301909
75	0.00006274218	0.00007357030	0.00003301909
76	0.00006274218	0.00007357030	0.00003301909
77	0.00006274218	0.00007357030	0.00003301909
78	0.00006274218	0.00007357030	0.00003079850
79	0.00006274218	0.00007357030	0.00003079850
	0.00006274218	0.00007357030	0.00003079850
	0.00006274218	0.00007357030	0.00003079850
	0.00006274218	0.00007357030	0.00003079850
	0.00006274218	0.00007357030	0.00003079850



84	0.00006274218	0.00007357030	0.00003079850
85	0.00006274218	0.00007357030	0.00003079850
86	0.00006274218	0.00007357030	0.00003079850
87	0.00006274218	0.00007357030	0.00003079850
88	0.00006274218	0.00007357030	0.00003079850
89	0.00006274218	0.00007357030	0.00003079850
90	0.00006274218	0.00007357030	0.00003079850
91	0.00006274218	0.00007357030	0.00003079850
92	0.00006274218	0.00007357030	0.00003079850
93	0.00006274218	0.00007357030	0.00003079850
94	0.00006274218	0.00007357030	0.00003079850
95	0.00006274218	0.00007357030	0.00003079850
96	0.00006274218	0.00007357030	0.00003079850
97	0.00006274218	0.00007357030	0.00003079850
98	0.00006274218	0.00007357030	0.00003079850
99	0.00006274218	0.00007357030	0.00003079850
100	0.00006274218	0.00007357030	0.00003079850
101	0.00006274218	0.00007357030	0.00003301909
102	0.00006274218	0.00007357030	0.00003301909
103	0.00006274218	0.00007357030	0.00003301909
104	0.00006274218	0.00007357030	0.00003301909
105	0.00006274218	0.00007357030	0.00003301909
106	0.00006274218	0.00007357030	0.00003301909
107	0.00006274218	0.00007357030	0.00003301909
108	0.00006274218	0.00007259624	0.00003079850
109	0.00006274218	0.00007357030	0.00003079850
110	0.00006274218	0.00007357030	0.00003079850
111	0.00006274218	0.00007357030	0.00003079850
112	0.00006274218	0.00007357030	0.00003079850
113	0.00006274218	0.00007357030	0.00003079850
114	0.00006274218	0.00007357030	0.00003079850
115	0.00006274218	0.00007357030	0.00003079850
116	0.00006274218	0.00007357030	0.00003079850
117	0.00006274218	0.00007357030	0.00003079850
118	0.00006274218	0.00007357030	0.00003079850
119	0.00006274218	0.00007357030	0.00003079850
120	0.00006274218	0.00007357030	0.00003079850
121	0.00006274218	0.00007357030	0.00003079850
122	0.00006274218	0.00007357030	0.00003079850
123	0.00006274218	0.00007357030	0.00003079850
	0.00006274218	0.00007357030	0.00003079850
	0.00006274218	0.00007357030	0.00003079850
	0.00006274218	0.00007357030	0.00003079850
	0.00006274218	0.00007357030	0.00003079850



128	0.00006274218	0.00007357030	0.00003079850
129	0.00006274218	0.00007357030	0.00003079850
130	0.00006274218	0.00007357030	0.00003079850
131	0.00006274218	0.00007357030	0.00003079850
132	0.00006274218	0.00007357030	0.00003301909
133	0.00006274218	0.00007357030	0.00003301909
134	0.00006274218	0.00007357030	0.00003301909
135	0.00006274218	0.00007357030	0.00003301909
136	0.00006274218	0.00007357030	0.00003301909
137	0.00006274218	0.00007357030	0.00003301909
138	0.00006274218	0.00007357030	0.00003301909
139	0.00006274218	0.00007357030	0.00003301909
140	0.00006274218	0.00007259624	0.00003079850
141	0.00006274218	0.00007357030	0.00003079850
142	0.00006274218	0.00007357030	0.00003079850
143	0.00006274218	0.00007357030	0.00003079850
144	0.00006274218	0.00007357030	0.00003079850
145	0.00006274218	0.00007357030	0.00003079850
146	0.00006274218	0.00007357030	0.00003079850
147	0.00006274218	0.00007357030	0.00003079850
148	0.00006274218	0.00007357030	0.00003079850
149	0.00006274218	0.00007357030	0.00003079850
150	0.00006274218	0.00007357030	0.00003079850
151	0.00006274218	0.00007357030	0.00003079850
152	0.00006274218	0.00007357030	0.00003079850
153	0.00006274218	0.00007357030	0.00003079850
154	0.00006274218	0.00007357030	0.00003079850
155	0.00006274218	0.00007357030	0.00003079850
156	0.00006274218	0.00007357030	0.00003079850
157	0.00006274218	0.00007357030	0.00003079850
158	0.00006274218	0.00007357030	0.00003079850
159	0.00006274218	0.00007357030	0.00003079850
160	0.00006274218	0.00007357030	0.00003079850
161	0.00006274218	0.00007357030	0.00003079850
162	0.00006274218	0.00007357030	0.00003079850
163	0.00006274218	0.00007357030	0.00003079850
164	0.00006274218	0.00007357030	0.00003301909
165	0.00006274218	0.00007357030	0.00003301909
166	0.00006274218	0.00007357030	0.00003301909
167	0.00006274218	0.00007357030	0.00003301909
	0.00006274218	0.00007357030	0.00003301909
	0.00006274218	0.00007357030	0.00003301909
	0.00006274218	0.00007357030	0.00003301909
	0.00006274218	0.00007357030	0.00003301909



172	0.00006274218	0.00007357030	0.00003301909
173	0.00006274218	0.00007259624	0.00003079850
174	0.00006274218	0.00007259624	0.00003079850
175	0.00006274218	0.00007357030	0.00003079850
176	0.00006274218	0.00007357030	0.00003079850
177	0.00006274218	0.00007357030	0.00003079850
178	0.00006274218	0.00007357030	0.00003079850
179	0.00006274218	0.00007357030	0.00003079850
180	0.00006274218	0.00007357030	0.00003079850
181	0.00006274218	0.00007357030	0.00003079850
182	0.00006274218	0.00007357030	0.00003079850
183	0.00006274218	0.00007357030	0.00003079850
184	0.00006274218	0.00007357030	0.00003079850
185	0.00006274218	0.00007357030	0.00003079850
186	0.00006274218	0.00007357030	0.00003086655
187	0.00006274218	0.00007357030	0.00003086655
188	0.00006274218	0.00007357030	0.00003086655
189	0.00006274218	0.00007357030	0.00003086655
190	0.00006274218	0.00007357030	0.00003086655
191	0.00006274218	0.00007357030	0.00003086655
192	0.00006274218	0.00007357030	0.00003086655
193	0.00006274218	0.00007357030	0.00003086655
194	0.00006274218	0.00007357030	0.00003086655
195	0.00006274218	0.00007357030	0.00003086655
196	0.00006274218	0.00007357030	0.00003086655
197	0.00006274218	0.00007357030	0.00003086655
198	0.00006274218	0.00007357030	0.00003278107
199	0.00006274218	0.00007357030	0.00003278107
200	0.00006274218	0.00007357030	0.00003278107
201	0.00006274218	0.00007357030	0.00003278107
202	0.00006274218	0.00007357030	0.00003278107
203	0.00006274218	0.00007357030	0.00003278107
204	0.00006274218	0.00007357030	0.00003278107
205	0.00006274218	0.00007259624	0.00003079850
206	0.00006274218	0.00007259624	0.00003079850
207	0.00006274218	0.00007259624	0.00003079850
208	0.00006274218	0.00007357030	0.00003079850
209	0.00006274218	0.00007357030	0.00003079850
210	0.00006274218	0.00007357030	0.00003079850
211	0.00006274218	0.00007357030	0.00003079850
	0.00006274218	0.00007357030	0.00003079850
	0.00006274218	0.00007357030	0.00003079850
	0.00006274218	0.00007357030	0.00003079850
	0.00006274218	0.00007357030	0.00003079850



216	0.00006274218	0.00007357030	0.00003079850
217	0.00006274218	0.00007357030	0.00003079850
218	0.00006274218	0.00007357030	0.00003079850
219	0.00006274218	0.00007357030	0.00003086655
220	0.00006274218	0.00007357030	0.00003086655
221	0.00006274218	0.00007357030	0.00003086655
222	0.00006274218	0.00007357030	0.00003086655
223	0.00006274218	0.00007357030	0.00003086655
224	0.00006274218	0.00007357030	0.00003086655
225	0.00006274218	0.00007357030	0.00003086655
226	0.00006274218	0.00007357030	0.00003086655
227	0.00006274218	0.00007357030	0.00003086655
228	0.00006274218	0.00007357030	0.00003086655
229	0.00006274218	0.00007357030	0.00003086655
230	0.00006274218	0.00007357030	0.00003086655
231	0.00006274218	0.00007357030	0.00003278107
232	0.00006274218	0.00007357030	0.00003278107
233	0.00006274218	0.00007357030	0.00003278107
234	0.00006274218	0.00007357030	0.00003278107
235	0.00006274218	0.00007259624	0.00003079850
236	0.00006274218	0.00007259624	0.00003079850
237	0.00006274218	0.00007357030	0.00003079850
238	0.00006274218	0.00007357030	0.00003079850
239	0.00006274218	0.00007357030	0.00003079850
240	0.00006274218	0.00007357030	0.00003079850
241	0.00006274218	0.00007357030	0.00003079850
242	0.00006274218	0.00007357030	0.00003079850
243	0.00006274218	0.00007357030	0.00003079850
244	0.00006274218	0.00007357030	0.00003079850
245	0.00006274218	0.00007357030	0.00003079850
246	0.00006274218	0.00007357030	0.00003079850
247	0.00006274218	0.00007357030	0.00003079850
248	0.00006274218	0.00007357030	0.00003086655
249	0.00006274218	0.00007357030	0.00003086655
250	0.00006274218	0.00007357030	0.00003086655
251	0.00006274218	0.00007357030	0.00003086655
252	0.00006274218	0.00007357030	0.00003086655
253	0.00006274218	0.00007357030	0.00003086655
254	0.00006274218	0.00007357030	0.00003086655
255	0.00006274218	0.00007357030	0.00003086655
	0.00006274218	0.00007357030	0.00003086655
	0.00006274218	0.00007357030	0.00003086655
	0.00006274218	0.00007357030	0.00003086655
	0.00006274218	0.00007357030	0.00003086655



260	0.00006274218	0.00007357030	0.00003278107
261	0.00006274218	0.00007357030	0.00003278107
262	0.00006274218	0.00007357030	0.00003278107
263	0.00006274218	0.00007357030	0.00003278107
264	0.00006274218	0.00006992147	0.00003079850
265	0.00006274218	0.00006992147	0.00003079850
266	0.00006274218	0.00007357030	0.00003079850
267	0.00006274218	0.00007357030	0.00003079850
268	0.00006274218	0.00007357030	0.00003079850
269	0.00006274218	0.00007357030	0.00003079850
270	0.00006274218	0.00007357030	0.00003079850
271	0.00006274218	0.00007357030	0.00003079850
272	0.00006274218	0.00007357030	0.00003079850
273	0.00006274218	0.00007357030	0.00003079850
274	0.00006274218	0.00007357030	0.00003079850
275	0.00006274218	0.00007357030	0.00003079850
276	0.00006274218	0.00007357030	0.00003079850
277	0.00006274218	0.00007357030	0.00003086655
278	0.00006274218	0.00007357030	0.00003086655
279	0.00006274218	0.00007357030	0.00003086655
280	0.00006274218	0.00007357030	0.00003086655
281	0.00006274218	0.00007357030	0.00003086655
282	0.00006274218	0.00007357030	0.00003086655
283	0.00006274218	0.00007357030	0.00003086655
284	0.00006274218	0.00007357030	0.00003086655
285	0.00006274218	0.00007357030	0.00003086655
286	0.00006274218	0.00007357030	0.00003086655
287	0.00006274218	0.00007357030	0.00003086655
288	0.00006274218	0.00007357030	0.00003086655
289	0.00006274218	0.00007357030	0.00003278107
290	0.00006274218	0.00007357030	0.00003278107
291	0.00006274218	0.00007357030	0.00003278107
292	0.00006274218	0.00007357030	0.00003278107
293	0.00006274218	0.00007357030	0.00003278107
294	0.00006274218	0.00006992147	0.00003079850
295	0.00006274218	0.00006992147	0.00003079850
296	0.00006274218	0.00007357030	0.00003079850
297	0.00006274218	0.00007357030	0.00003079850
298	0.00006274218	0.00007357030	0.00003079850
299	0.00006274218	0.00007357030	0.00003079850
	0.00006274218	0.00007357030	0.00003079850
	0.00006274218	0.00007357030	0.00003079850
	0.00006274218	0.00007357030	0.00003079850
	0.00006274218	0.00007357030	0.00003079850



304	0.00006274218	0.00007357030	0.00003079850
305	0.00006274218	0.00007357030	0.00003079850
306	0.00006274218	0.00007357030	0.00003079850
307	0.00006274218	0.00007357030	0.00003086655
308	0.00006274218	0.00007357030	0.00003086655
309	0.00006274218	0.00007357030	0.00003086655
310	0.00006274218	0.00007357030	0.00003086655
311	0.00006274218	0.00007357030	0.00003086655
312	0.00006274218	0.00007357030	0.00003086655
313	0.00006274218	0.00007357030	0.00003086655
314	0.00006274218	0.00007357030	0.00003086655
315	0.00006274218	0.00007357030	0.00003086655
316	0.00006274218	0.00007357030	0.00003086655
317	0.00006274218	0.00007357030	0.00003086655
318	0.00006274218	0.00007357030	0.00003086655
319	0.00006274218	0.00007357030	0.00003278107
320	0.00006274218	0.00007357030	0.00003278107
321	0.00006274218	0.00007357030	0.00003278107
322	0.00006274218	0.00007357030	0.00003278107
323	0.00006274218	0.00007357030	0.00003278107
324	0.00006274218	0.00007357030	0.00003278107
325	0.00006274218	0.00006992147	0.00003079850
326	0.00006274218	0.00006992147	0.00003079850
327	0.00006274218	0.00006992147	0.00003079850
328	0.00006274218	0.00007357030	0.00003079850
329	0.00006274218	0.00007357030	0.00003079850
330	0.00006274218	0.00007357030	0.00003079850
331	0.00006274218	0.00007357030	0.00003079850
332	0.00006274218	0.00007357030	0.00003079850
333	0.00006274218	0.00007357030	0.00003079850
334	0.00006274218	0.00007357030	0.00003079850
335	0.00006274218	0.00007357030	0.00003079850
336	0.00006274218	0.00007357030	0.00003079850
337	0.00006274218	0.00007357030	0.00003079850
338	0.00006274218	0.00007357030	0.00003079850
339	0.00006274218	0.00007357030	0.00003086655
340	0.00006274218	0.00007357030	0.00003086655
341	0.00006274218	0.00007357030	0.00003086655
342	0.00006274218	0.00007357030	0.00003086655
343	0.00006274218	0.00007357030	0.00003086655
	0.00006274218	0.00007357030	0.00003086655
	0.00006274218	0.00007357030	0.00003086655
	0.00006274218	0.00007357030	0.00003086655
	0.00006274218	0.00007357030	0.00003086655



348	0.00006274218	0.00007357030	0.00003086655
349	0.00006274218	0.00007357030	0.00003086655
350	0.00006274218	0.00007357030	0.00003086655
351	0.00006274218	0.00007357030	0.00003278107
352	0.00006274218	0.00007357030	0.00003278107
353	0.00006274218	0.00007357030	0.00003278107
354	0.00006274218	0.00007357030	0.00003278107
355	0.00006274218	0.00007357030	0.00003278107
356	0.00006274218	0.00007357030	0.00003278107
357	0.00006274218	0.00006992147	0.00003079850
358	0.00006274218	0.00006992147	0.00003079850
359	0.00006274218	0.00006992147	0.00003079850
360	0.00006274218	0.00006992147	0.00003079850
361	0.00006274218	0.00007357030	0.00003079850
362	0.00006274218	0.00007357030	0.00003079850
363	0.00006274218	0.00007357030	0.00003079850
364	0.00006274218	0.00007357030	0.00003079850
365	0.00006274218	0.00007357030	0.00003079850
366	0.00006274218	0.00007357030	0.00003079850
367	0.00006274218	0.00007357030	0.00003079850
368	0.00006274218	0.00007357030	0.00003079850
369	0.00006274218	0.00007357030	0.00003079850
370	0.00006274218	0.00007357030	0.00003079850
371	0.00006274218	0.00007357030	0.00003079850
372	0.00006274218	0.00007357030	0.00003086655
373	0.00006274218	0.00007357030	0.00003086655
374	0.00006274218	0.00007357030	0.00003086655
375	0.00006274218	0.00007357030	0.00003086655
376	0.00006274218	0.00007357030	0.00003086655
377	0.00006274218	0.00007357030	0.00003086655
378	0.00006274218	0.00007357030	0.00003086655
379	0.00006274218	0.00007357030	0.00003086655
380	0.00006274218	0.00007357030	0.00003086655
381	0.00006274218	0.00007357030	0.00003086655
382	0.00006274218	0.00007357030	0.00003086655
383	0.00006274218	0.00007357030	0.00003086655
384	0.00006274218	0.00007357030	0.00003278107
385	0.00006274218	0.00007357030	0.00003278107
386	0.00006274218	0.00007357030	0.00003278107
387	0.00006274218	0.00007357030	0.00003278107
	0.00006274218	0.00007357030	0.00003278107
	0.00006274218	0.00006992147	0.00003079850
	0.00006274218	0.00006992147	0.00003079850
	0.00006274218	0.00006992147	0.00003079850



392	0.00006274218	0.00006992147	0.00003079850
393	0.00006274218	0.00007357030	0.00003079850
394	0.00006274218	0.00007357030	0.00003079850
395	0.00006274218	0.00007357030	0.00003079850
396	0.00006274218	0.00007357030	0.00003079850
397	0.00006274218	0.00007357030	0.00003079850
398	0.00006274218	0.00007357030	0.00003079850
399	0.00006274218	0.00007357030	0.00003079850
400	0.00006274218	0.00007357030	0.00003079850
401	0.00006274218	0.00007357030	0.00003079850
402	0.00006274218	0.00007357030	0.00003079850
403	0.00006274218	0.00007357030	0.00003079850
404	0.00006274218	0.00007357030	0.00003086655
405	0.00006274218	0.00007357030	0.00003086655
406	0.00006274218	0.00007357030	0.00003086655
407	0.00006274218	0.00007357030	0.00003086655
408	0.00006274218	0.00007357030	0.00003086655
409	0.00006274218	0.00007357030	0.00003086655
410	0.00006274218	0.00007357030	0.00003086655
411	0.00006274218	0.00007357030	0.00003086655
412	0.00006274218	0.00007357030	0.00003086655
413	0.00006274218	0.00007357030	0.00003086655
414	0.00006274218	0.00007357030	0.00003086655
415	0.00006274218	0.00007357030	0.00003086655
416	0.00006274218	0.00007357030	0.00003278107
417	0.00006274218	0.00007357030	0.00003278107
418	0.00006274218	0.00007357030	0.00003278107
419	0.00006274218	0.00007357030	0.00003278107
420	0.00006274218	0.00007357030	0.00003278107
421	0.00006274218	0.00007357030	0.00003278107
422	0.00006274218	0.00006992147	0.00003079850
423	0.00006274218	0.00006992147	0.00003079850
424	0.00006274218	0.00006992147	0.00003079850
425	0.00006274218	0.00006992147	0.00003079850
426	0.00006274218	0.00007357030	0.00003079850
427	0.00006274218	0.00007357030	0.00003079850
428	0.00006274218	0.00007357030	0.00003079850
429	0.00006274218	0.00007357030	0.00003079850
430	0.00006274218	0.00007357030	0.00003079850
431	0.00006274218	0.00007357030	0.00003079850
	0.00006274218	0.00007357030	0.00003079850
	0.00006274218	0.00007357030	0.00003079850
	0.00006274218	0.00007357030	0.00003079850
	0.00006274218	0.00007357030	0.00003079850



436	0.00006274218	0.00007357030	0.00003079850
437	0.00006274218	0.00007357030	0.00003086655
438	0.00006274218	0.00007357030	0.00003086655
439	0.00006274218	0.00007357030	0.00003086655
440	0.00006274218	0.00007357030	0.00003086655
441	0.00006274218	0.00007357030	0.00003086655
442	0.00006274218	0.00007357030	0.00003086655
443	0.00006274218	0.00007357030	0.00003086655
444	0.00006274218	0.00007357030	0.00003086655
445	0.00006274218	0.00007357030	0.00003086655
446	0.00006274218	0.00007357030	0.00003086655
447	0.00006274218	0.00007357030	0.00003086655
448	0.00006274218	0.00007357030	0.00003086655
449	0.00006274218	0.00007357030	0.00003278107
450	0.00006274218	0.00007357030	0.00003278107
451	0.00006274218	0.00007357030	0.00003278107
452	0.00006274218	0.00007357030	0.00003278107
453	0.00006274218	0.00007357030	0.00003278107
454	0.00006274218	0.00006992147	0.00003079850
455	0.00006274218	0.00006992147	0.00003079850
456	0.00006274218	0.00006992147	0.00003079850
457	0.00006274218	0.00006992147	0.00003079850
458	0.00006274218	0.00006992147	0.00003079850
459	0.00006274218	0.00007357030	0.00003079850
460	0.00006274218	0.00007357030	0.00003079850
461	0.00006274218	0.00007357030	0.00003079850
462	0.00006274218	0.00007357030	0.00003079850
463	0.00006274218	0.00007357030	0.00003079850
464	0.00006274218	0.00007357030	0.00003079850
465	0.00006274218	0.00007357030	0.00003079850
466	0.00006274218	0.00007357030	0.00003079850
467	0.00006274218	0.00007357030	0.00003079850
468	0.00006274218	0.00007357030	0.00003079850
469	0.00006274218	0.00007357030	0.00003079850
470	0.00006274218	0.00007357030	0.00003086655
471	0.00006274218	0.00007357030	0.00003086655
472	0.00006274218	0.00007357030	0.00003086655
473	0.00006274218	0.00007357030	0.00003086655
474	0.00006274218	0.00007357030	0.00003086655
475	0.00006274218	0.00007357030	0.00003086655
	0.00006274218	0.00007357030	0.00003086655
	0.00006274218	0.00007357030	0.00003086655
	0.00006274218	0.00007357030	0.00003086655
	0.00006274218	0.00007357030	0.00003086655



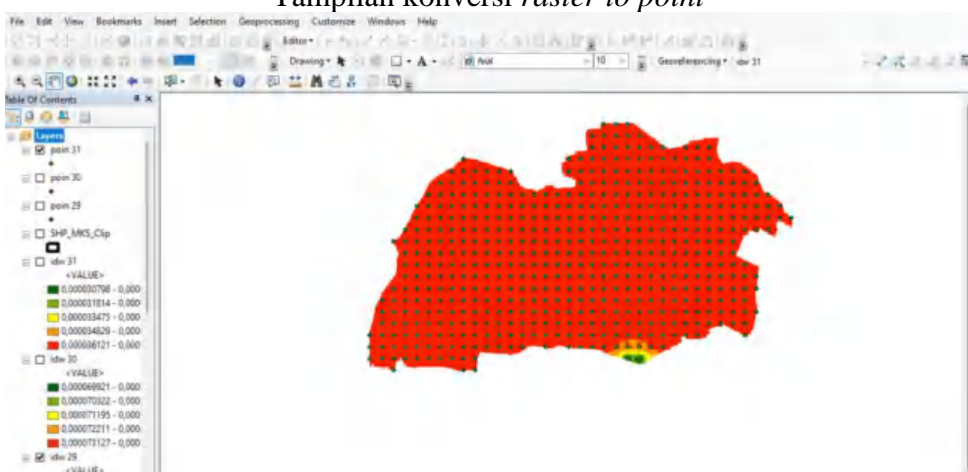
480	0.00006274218	0.00007357030	0.00003086655
481	0.00006274218	0.00007357030	0.00003086655
482	0.00006274218	0.00007357030	0.00003278107
483	0.00006274218	0.00007357030	0.00003278107
484	0.00006274218	0.00006992147	0.00003079850
485	0.00006274218	0.00006992147	0.00003079850
486	0.00006274218	0.00006992147	0.00003079850
487	0.00006274218	0.00006992147	0.00003079850
488	0.00006274218	0.00006992147	0.00003079850
489	0.00006274218	0.00007357030	0.00003079850
490	0.00006274218	0.00007357030	0.00003079850
491	0.00006274218	0.00007357030	0.00003079850
492	0.00006274218	0.00007357030	0.00003079850
493	0.00006274218	0.00007357030	0.00003079850
494	0.00006274218	0.00007357030	0.00003079850
495	0.00006274218	0.00007357030	0.00003079850
496	0.00006274218	0.00007357030	0.00003079850
497	0.00006274218	0.00007357030	0.00003079850
498	0.00006274218	0.00007357030	0.00003079850
499	0.00006274218	0.00007357030	0.00003086655
500	0.00006274218	0.00007357030	0.00003086655
501	0.00006274218	0.00007357030	0.00003086655
502	0.00006274218	0.00007357030	0.00003086655
503	0.00006274218	0.00007357030	0.00003086655
504	0.00006274218	0.00007357030	0.00003086655
505	0.00006274218	0.00007357030	0.00003086655
506	0.00006274218	0.00007357030	0.00003086655
507	0.00006274218	0.00007357030	0.00003086655
508	0.00006274218	0.00006992147	0.00003622341
509	0.00006274218	0.00006992147	0.00003622341
510	0.00006274218	0.00006992147	0.00003622341
511	0.00006274218	0.00006992147	0.00003622341
512	0.00006274218	0.00006992147	0.00003622341
513	0.00006274218	0.00007357030	0.00003746935
514	0.00006274218	0.00007357030	0.00003746935
515	0.00006274218	0.00007357030	0.00003746935
516	0.00006274218	0.00007357030	0.00003746935
517	0.00006274218	0.00007357030	0.00003746935
518	0.00006258780	0.00007357030	0.00003864729
519	0.00006258780	0.00007357030	0.00003864729
	0.00006274218	0.00006992147	0.00003622341
	0.00006274218	0.00007357030	0.00003746935
	0.00006274218	0.00007357030	0.00003746935



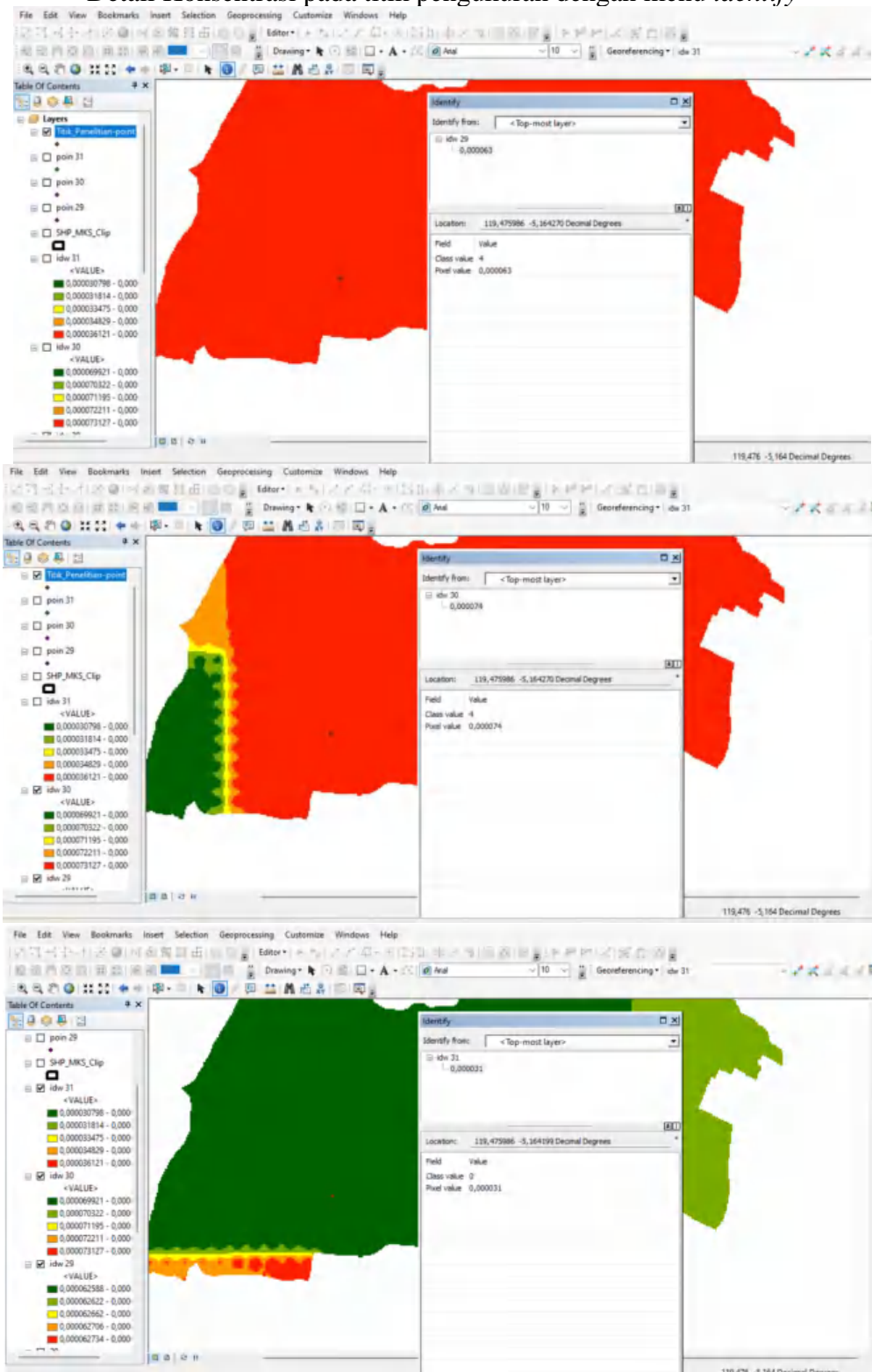
Tanggal	Min	Max	Average
29 mei	0.00006258780	0.00006274218	0.00006274159
30 mei	0.00006992147	0.00007357030	0.00007330885
31 mei	0.00003079850	0.00003864729	0.00003135301

Tanggal	Nilai pixel	Frekuensi
31 mei	307.98 10^{-7} mol/m ²	289
	308.66 10^{-7} mol/m ²	129
	327.81 10^{-7} mol/m ²	50
	330.19 10^{-7} mol/m ²	39
	362.23 10^{-7} mol/m ²	6
	374.69 10^{-7} mol/m ²	7
	386.47 10^{-7} mol/m ²	2
30 mei	699.21 10^{-7} mol/m ²	35
	725.96 10^{-7} mol/m ²	9
	735.70 10^{-7} mol/m ²	478
29 mei	627.42 10^{-7} mol/m ²	520
	625.87 10^{-7} mol/m ²	2

Tampilan konversi raster to point



Detail Konsentrasi pada titik pengukuran dengan menu *identify*



Optimized using
trial version
www.balesio.com

**Lampiran 4. Dokumentasi
PERSIAPAN PENGAMBILAN DATA**



PENGAMBILAN DATA

29 Mei 2023

Pagi



Siang



Sore



Malam



30 Mei 2023

Pagi



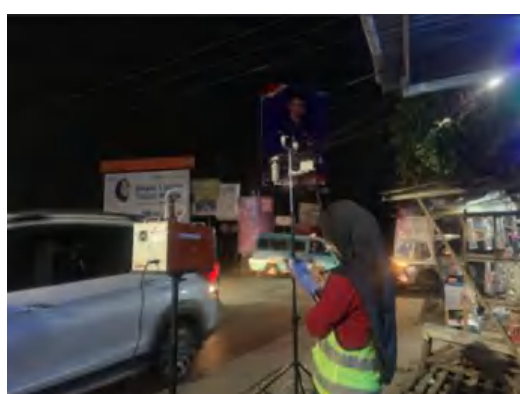
Siang



Sore



Malam



31 Mei 2023

Pagi



Siang



Sore



Malam

**PENGUJIAN SAMPEL**

29 Mei 2023

Pagi



Siang



Sore

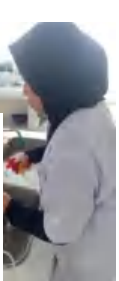
Malam



30 Mei 2023

Pagi

Siang



Sore



Malam



31 Mei 2023

Pagi



Siang



Sore



Malam

